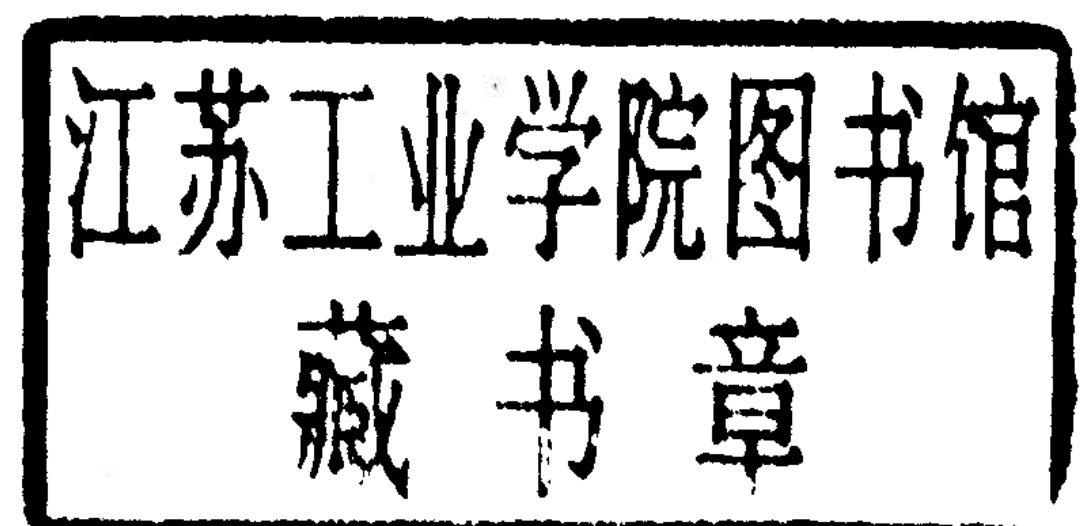


光学設計

下冊

陈晃明編



北京工业学院

1964.4

光学設計讲义目录

第六章 摄影系統

§ 1.	摄影系統的分类和应用	1
§ 2.	摄影系統設計的基本原則	3
§ 3.	摄影系統的基本結構及其演变	5
§ 4.	三片型摄影物鏡設計	7
§ 5.	摄影系統类型的选择及其矫正象差的可能性分析	17

第七章 显微系統

§ 1.	显微系統的工作原理及其光学特性	22
§ 2.	显微系統的有效放大率及其意义	23
§ 3.	显微系統的物鏡和目鏡	24
§ 4.	里斯特物鏡設計	36

第八章 等暈系統

§ 1.	等暈面和等暈透鏡	34
§ 2.	等暈面的光路計算	36
§ 3.	同心面的光路計算	40
§ 4.	无畸变等暈系統	44
§ 5.	大相对孔径等暈系統	49

第九章 波 差

§ 1.	引 言	51
§ 2.	軸上点和軸外点的波差表达式	54
§ 3.	波差与横向象差的关系	56
§ 4.	球差的波差計算。最佳象平面位置的确定	58
§ 5.	望远物鏡的球差的容許限度	65
§ 6.	象散和象面弯曲的波差計算	72
§ 7.	彗差的波差計算	78

§ 8 象散和彗差的波差組合	80
§ 9 縱向色差的容許限度	81
§ 10 目鏡象差的容許限度	83
§ 11. 象差的容許限度的實驗值	85
第十章 實際光學系統成象的衍射理論	
§ 1. 光的振動方程式	86
§ 2. 物點通過光學系統所成的衍射象。斯特列里數	87
§ 3. 在焦散情況下點象上的能量分布	90
§ 4. 在初級球差情況下點象上的能量分布	92
§ 5. 在同時存在焦散和高級球差情況下點象上的能量分布	102
第十一章 鑑別率	
§ 1. 望遠系統的鑑別率	106
§ 2. 攝影系統的鑑別率	102
第十二章 光學零件的製造和裝配的公差	
§ 1. 光學玻璃的質量指標。光學零件對玻璃的要求	112
§ 2. 平板玻璃不平行度的公差	115
§ 3. 一次反射直角稜鏡的角度公差	118
§ 4. 兩次反射直角稜鏡的角度公差	120
§ 5. 屋脊稜鏡的角度公差	121
§ 6. 透維稜鏡的角度公差	123
§ 7. 透鏡中心偏差的公差	126
§ 8. 光學零件表面質量的公差	130
§ 9. 光學零件拋光表面的光洁度等級	133
§ 10. 圓形光學零件和鏡框直徑的公差	135
§ 11. 光學零件倒角和厚度的公差	139
§ 12. 計算實例	142

第六章 摄影系統

§ 1 摄影系統的分类和应用

摄影系統在国防科学研究，军事侦察，国民经济建設，医疗以及人們的文化生活方面都具有重要的地位。根据用途的不同，摄影系統分为以下几类：

1) 长焦距摄影系統

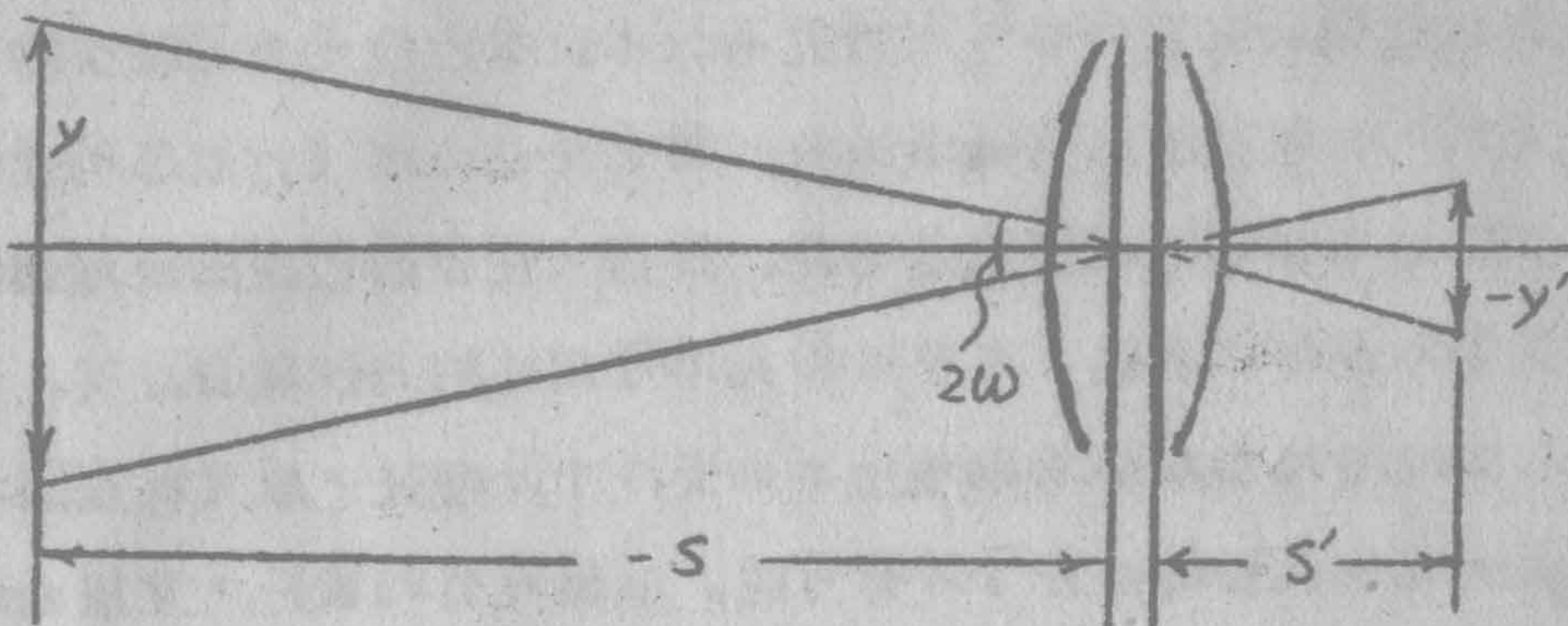


图 6-1

在图 6-1 中，設 y 和 y' 代表物和象的大小， s 和 s' 代表物距和象距， 2ω 代表視场角，得到

$$\frac{y'}{y} = \frac{s'}{s} \quad (6-1)$$

在摄影系統的情形，物距 s 总是很大，象距 s' 近似等于焦距 f' ，有

$$y' = \frac{y}{s} f' = \tan \omega f' \quad (6-2)$$

从上式可知：当視场角一定时，象的大小与焦距成正比。欲想增大象和物的比率，必须增大焦距，故焦距起成象的比例尺作用。长焦距摄影系統适用于地面或空中的远距离摄影侦察。具有 3 米以上的焦距和設計良好的摄影系統基本上能照清 10 公里以内的物体細节。

2) 大相对孔径摄影系統

在几何光学中已經討論过以下公式

$$E' = \frac{\pi K B}{4} \left(\frac{D}{f'} \right)^2 \quad - \quad (6-3)$$

式中: E' 代表象平面上的照度, K 代表透过系数, B 代表物体的亮度, D/f' 代表相对孔径。上式說明象平面上的照度与相对孔径的平方成正比。为了在弱的照明条件下能夠照相, 必須增大相对孔径。近几年来, 火箭武器成为现代战争的重要手段之一。获得它的起始速度和运行轨迹等重要参数对研究其战术技术性能是不可缺少的, 而测定它们的有效方法只有高速摄影, 对于处在高速飞行状态的子弹或爆炸物的运动参数的测定也是这样。目前, 在各国已經陆续地出现了各种类型的高速摄影机, 其中摄影频率可以达到每秒数百万次。由于曝光时间随着摄影频率急剧地增加而变得十分短促, 感光仅在摄影物鏡具备大相对孔径的条件下才有可能。根据现有的資料, 专供高速摄影用的系統的相对孔径均在 $1/2.5$ 以上。

3) 大視場摄影系統

这种系統用于航空摄影測量。无论在時間或人力方面, 航空摄影測量比利用經緯仪和平板仪在地面进行的測量更为經濟, 而經濟性的提高又依赖于視場的扩大。設計大視場摄影系統的严重障碍在于視場边缘的照度迅速下降。当 1938 年苏联科学技术博士 M. M. 魯西諾夫教授发现了象差漸晕現象以后, 这个問題才在理論上获得解决。此外, 大視場摄影系統还可以作为从高空侦察机或人造卫星上向地面拍摄照片之用。在 M. M. 魯西諾夫教授設計达到 $148^{\circ} 30'$ 的摄影物鏡中, 应用了非球面。

4) 普通摄影系統

属于此类系統的有各种人像镜头, 它們的光学特性在以下范围内:

$$f' < 400\text{mm}, D/f' < 1/3.5, 2\omega < 60^\circ.$$

除了以上所述的四种基本类型以外，按照其结构，摄影系統可以分为折射式的和折反射式的；按照其焦距是否变化，它还可以分为不变焦距的和可变焦距的，后者在最新式的电视机上获得了应用。

长焦距，大相对孔径和大视场是现代军用光学仪器的战术技术要求的重要标志。同时满足这些要求往往给象差的矫正造成了困难。对于摄影系統來說，纵向象差（球差，象散，象面弯曲，纵向色差）和横向象差（彗差，畸变，横向色差）都很大，必须同时矫正。此外，还要矫正高级象差——区域球差和区域象散。对于专供航空摄影测量用的系統，为了减小测量误差，畸变尤其要严加控制。鉴于要求矫正的象差多，照相物鏡的結構是比较复杂的。

§ 2 摄影系統設計的基本原則

摄影系統的作用为把空間的物体成一实象在感光底板上，它的光焦度必須是正的

$$\varphi = \frac{1}{h_1} \sum_{i=1}^{i=k} h_i \varphi_i > 0 \quad (6-4)$$

式中： φ 为整个系統的光焦度， h_i 为光线在第一表面上的投射高度， h_i' 为第一辅助光线在第 i 透鏡上的平均投射高度， φ_i 为用薄透鏡公式計算的第 i 透鏡的光焦度。

写出系統总纵向和横向色差公式，並使它們等于零

$$\delta S'_{F-C}^{\text{总}} = -\frac{1}{n_k' u_k'^2} \sum_{i=1} h_i'^2 \frac{\varphi_i}{I_i} = 0 \quad (6-5)$$

$$\sigma_{F-C}^{\text{总}} = -\frac{1}{n_k' u_k'^2} \sum_{i=1} h_i H_i \frac{\varphi_i}{I_i} = 0 \quad (6-6)$$

式中： $\delta S'_{F-C}^{\text{总}}$ 和 $\sigma_{F-C}^{\text{总}}$ 分別为整个系統的縱向和横向色差， n_k' 为象空間介质的折射系数，它在空气中等于1， u_k' 为第一辅助光线在象空間与光軸的夹角， H_i 为第二辅助光线在第 i 透鏡上的平

均投射高度。

此外，从初級象差理論还可以得到消除象面弯曲的关系式

$$\begin{aligned}x_p' &= -\frac{1}{2} n_k' y_k'^2 \sum_{i=1}^{i=k} \frac{n_i' - n_i}{n_i' n_i R_i} \\&= -\frac{1}{2} n_k' y_k'^2 \left[\frac{n_1 - 1}{n_1} \left(\frac{1}{R_1} - \frac{1}{R_2} \right) + \frac{n_2 - 1}{n_2} \left(\frac{1}{R_3} - \frac{1}{R_4} \right) \right. \\&\quad \left. + \dots \dots \dots \right] \\&= -\frac{1}{2} n_k' y_k'^2 \left[\frac{\varphi_1}{n_1} + \frac{\varphi_2}{n_2} + \dots \dots \right] \quad (6-7)\end{aligned}$$

由于阿貝数 φ 总是大于 1，从 (6-5) 和 (6-6) 明白，摄影系統必須同时具有正和負透鏡才能滿足消除色差的要求。从 (6-7) 不难得出結論：为了矫正象面弯曲，摄影系統不但要由正和負透鏡組成，而它們还必須是厚透鏡或正負分离的薄透鏡，而不能是密接薄透鏡，否则摄影系統就会由于光焦度等于零而失去意义。

察看图 6-2，不論透鏡的位置如何排列，光線在正透鏡上的投射高度总是大于它在負透鏡上的投射高度。这样，为了滿足 (6-5)，在选择玻璃材料时，正透鏡宜採用小阿貝数（高色散）的玻璃。

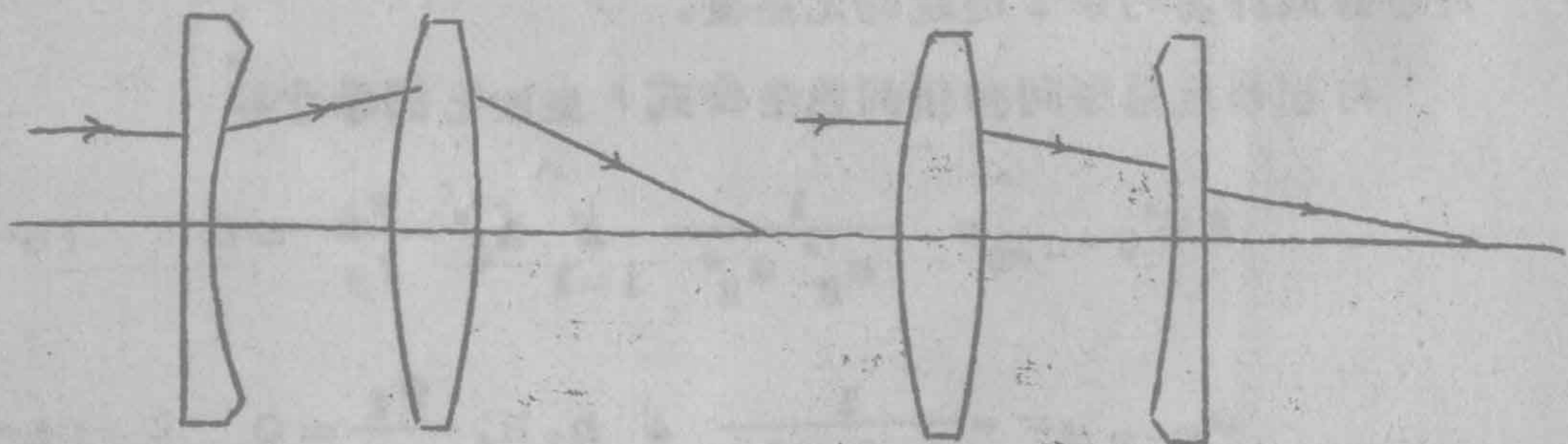


图 6-2

在設計大視場摄影系統时，差不多都遵循了系統相对光闊对称的原则，这是由于它的横向象差特別大，而对称性恒能保証自动地消除

这样的象差。

§ 3 摄影系統的基本結構及其演变

在設計摄影系統时，不能违背上一节所述的原則。符合这些原則的結構形式不多，叫基本結構。但是，单纯依靠基本結構並不能保證良好的成象质量，为了解決这个問題，必須将它复杂化。隨着基本結構复杂化的方式不同，便出現了各式各样的摄影系統。基本結構复杂化的方法可以归纳如下：

1) 加胶合面

关于利用胶合面矫正球差和象散的理論已經在第二章中叙述过了。在基本結構中，利用两种折射系数相等但阿貝数不相等的玻璃构成胶合面（图 6-3），可以在不会破坏已矫正好的单色象差的条件下矫正色差，故在一般情况下，色差对設計师沒有多大的威胁。

2) 将一个透鏡分裂成两个以上的透鏡

透鏡分裂的目的是为了減小单个透鏡的光焦度（或增大它的焦距）和減小光线在折射面上的角度，从而減小高級象差，达到提高光学特性的目的。图 6-4 为将一个透鏡分裂成两个透鏡的情形。

摄影系統的基本結構及其演变如图 6-5 所示，其中的正和負号，对于对称基本結構，表示光闌右方依次的透鏡符号，对于非对称型基本結構，表示从头至尾的透鏡的符号。

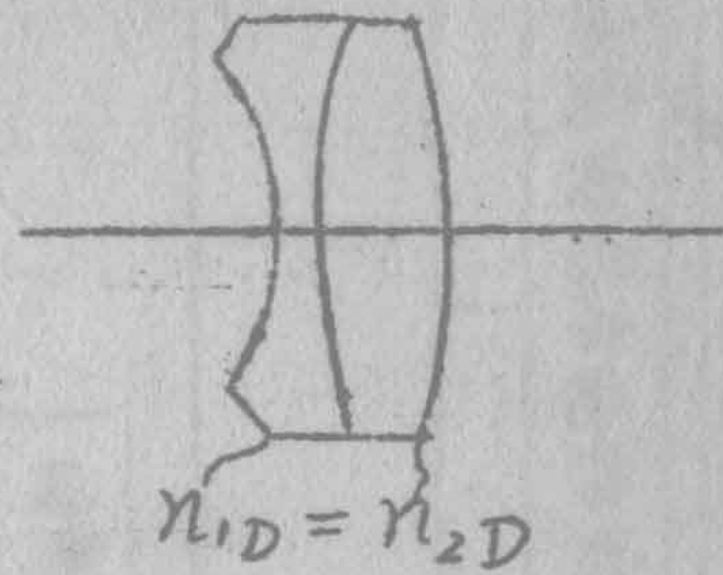


图 6-3

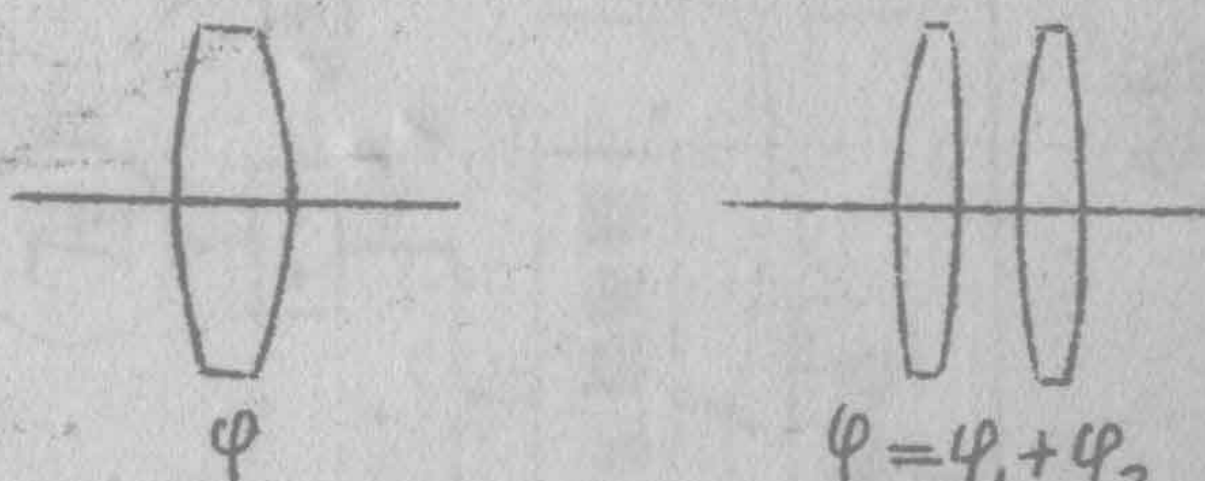
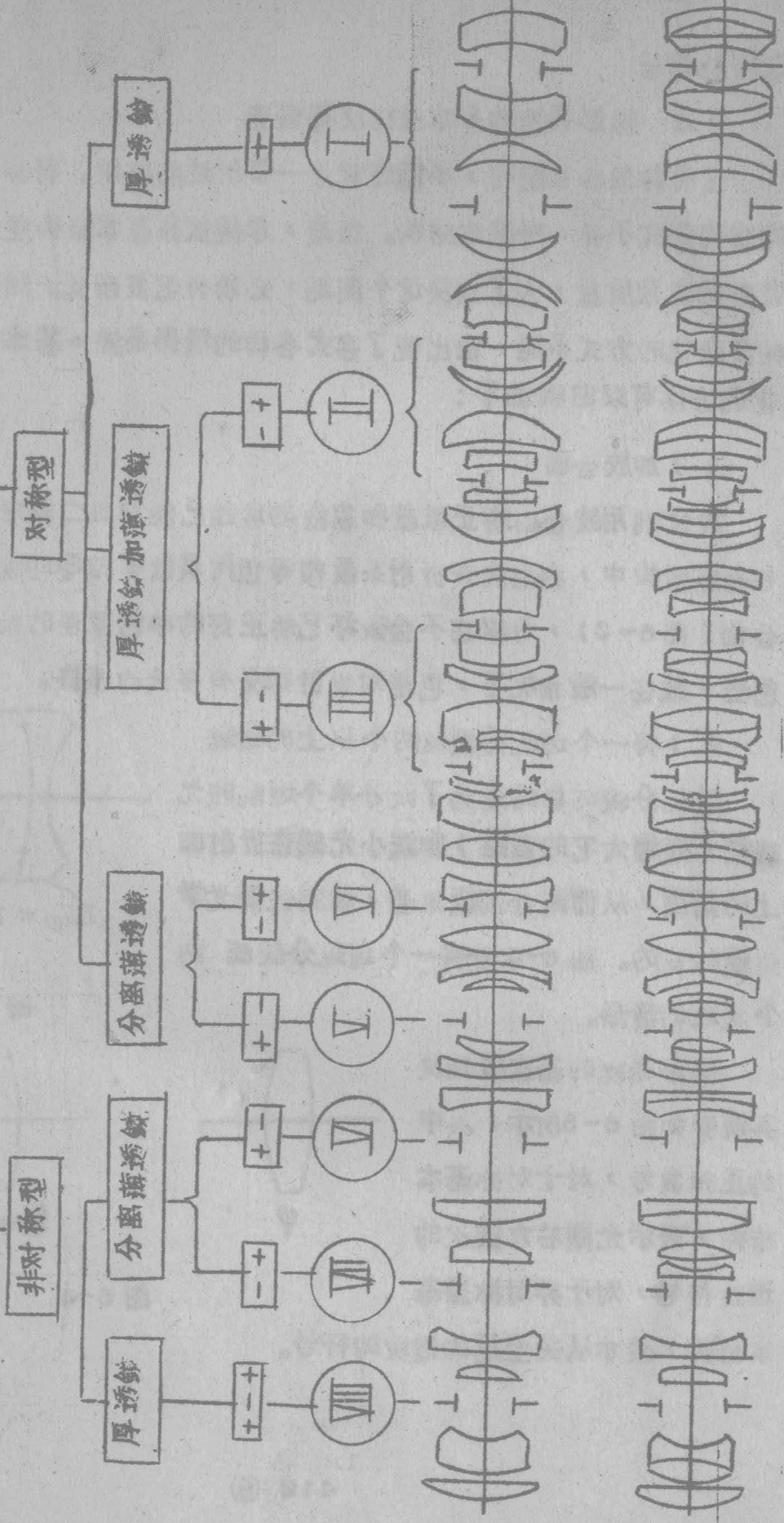


图 6-4

摄影系统的基本结构及光路演变



§ 4 三片型摄影物鏡設計

1) 設計方法

三片型摄影物鏡屬於第IV类基本結構(图6-6)。

由于摄影物鏡的对称性，它的縱向象差互相迭加，横向象差互相抵銷。

因此，設計时只須矯正半部系統的縱向象差。現在來研究矯正半部系統四種縱向象差的問題：

I . 球差

由于半部系統的第一块透鏡為負透鏡(图6-7)，在物体位在无限远的情形，产生正球差，第二块正透鏡产生的球差為負，故球差能以互相对补偿。

II . 象散

半部系統是在弯月鏡滿足消象散的近的入射光瞳位置的基础上建立起来的(图6-8)。

弯月鏡可以看作由平凹透鏡1，平板玻璃2和平凸透鏡3組成。用相应的空气厚度代替平板玻璃2对象散没有什么影响。在第二章中已經叙述，当光闌与鏡框重合时，空气中的薄透鏡产生的象散与透鏡的形狀无关。这样，把平凹透鏡的凹面向着平凸透鏡的平面不会破坏已矯正好的象散(图6-9)。

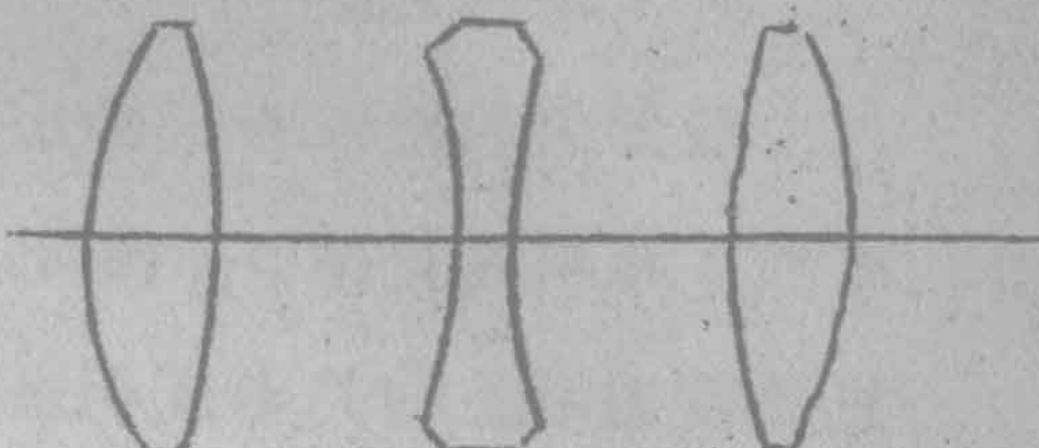


图 6-6

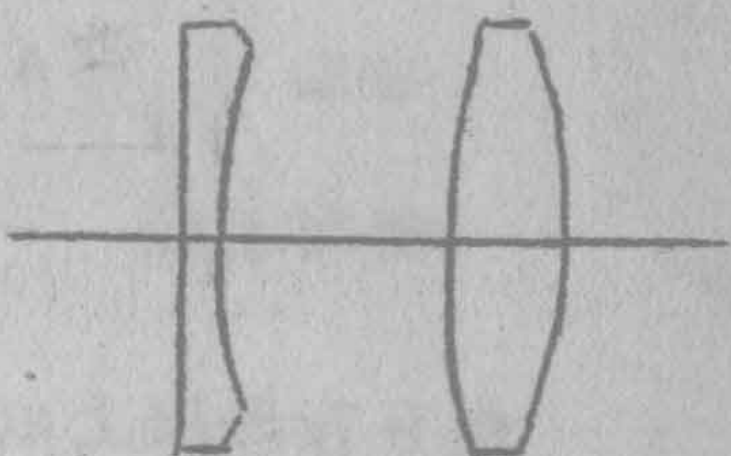


图 6-7

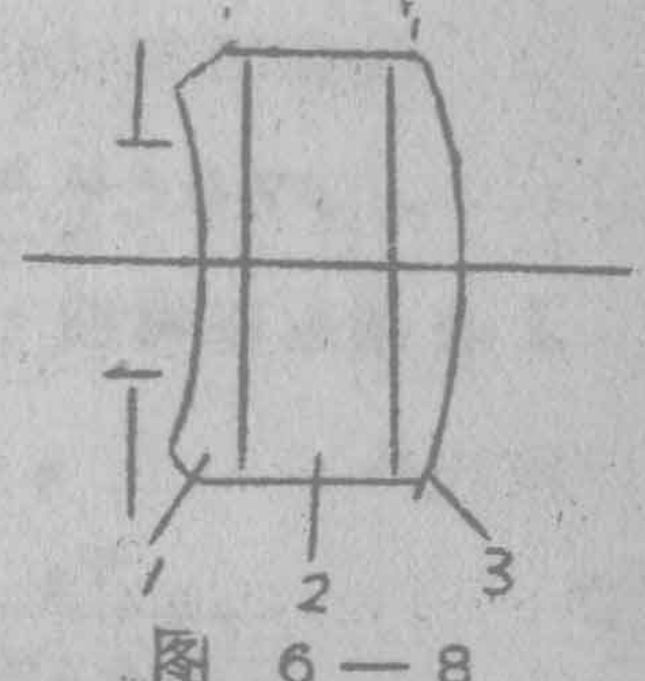


图 6-8

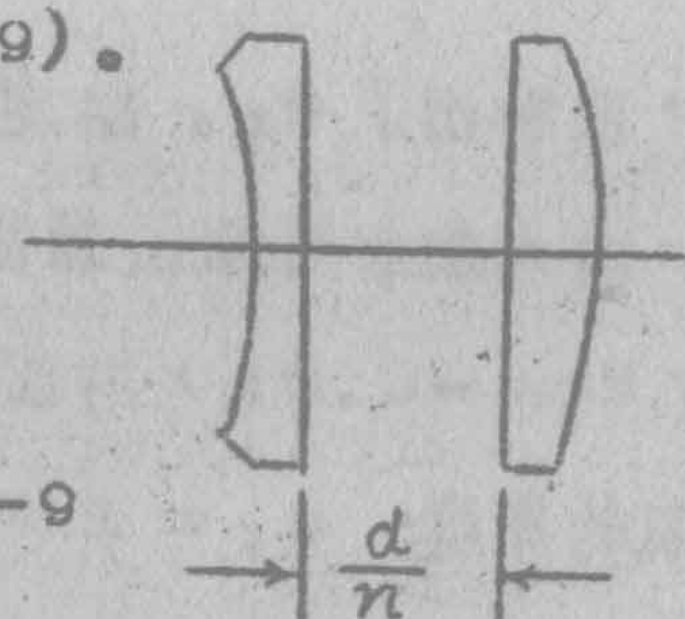
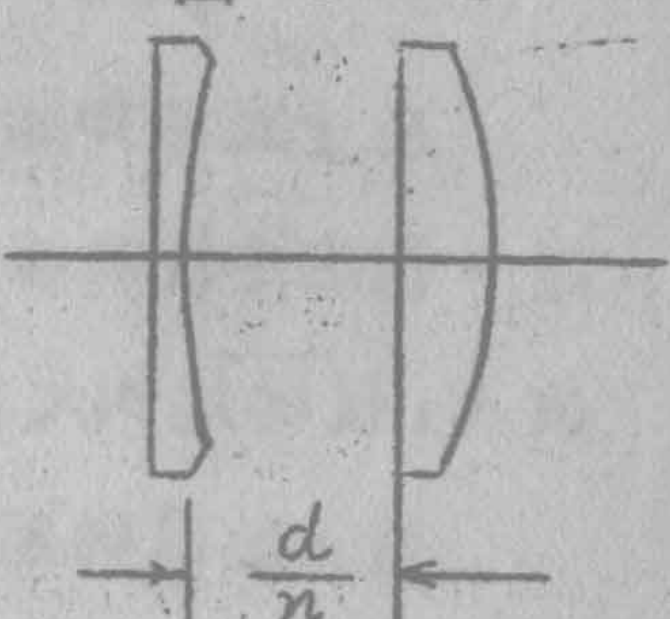


图 6-9



III. 象面弯曲

由于半部系統由正和負透鏡組成，故能以滿足消象面弯曲条件（图 6-7）。

IV. 縱向色差

根据消色差条件选择正和負透鏡的玻璃材料。当矫正过度和矫正不足时，可以用更换 n_D 相同但 ν 不相同的玻璃的办法达到消色差目的。色差微量修正的关系式与望远物鏡的类似

$$\frac{1}{R_4^*} = \frac{1}{R_4} - \frac{\delta S_{F-C} - \delta S'_{F-C}}{S'^2 (n_F - n_C)}$$

2) 光学特性

这种类型的摄影物鏡的光学特性一般可以达到

焦距 $f' = 250 \text{ mm}$

幅面 $A = 90 \times 12 \text{ mm}^2$

相对孔径 $\frac{D}{f'} = \frac{1}{4}$

現在按照以上数据作实例設計。

3) 半部系統参数的确定

根据消色差条件分別选定負透鏡和正透鏡的玻璃材料为 TΦ1 ($n_D = 1.6475, \nu = 33.9$) 和 TK16 ($n_D = 1.6126, \nu = 58.3$)。为了消除象面弯曲，按照(6-7)确定两块透鏡的光焦度，並將已知数据代入

$$\frac{\varphi_1}{1.6475} + \frac{\varphi_2}{1.6126} = 0$$

在上式中如給定 φ_1 ，便解出了 φ_2 。給定的 φ_1 将影响系統的焦距，但这个没有多大关系，因为最后可以按照需要的焦距进行縮放，故 φ_1 仅起比例尺作用。設 $\varphi_1 = -0.01$ ，解出 $\varphi_2 = 0.009788$ 。

根据強度确定两块透鏡的厚度： $d_1 = 3, d_2 = 16$ 。

按照下式确定负透镜的曲率半径

$$\varphi_1 = (n_1 - 1) \left(\frac{1}{R_1} - \frac{1}{R_2} \right)$$

将数值代入

$$-0.01 = (1.6475 - 1) \left(\frac{1}{\infty} - \frac{1}{R_2} \right)$$

所以 $R_2 = 64.75$

给定 $d_2 = 20$ 对结构没有什么影响，变换正透镜的形状矫正球差

$$\varphi_2 = (n_2 - 1) \left(\frac{1}{R_2} - \frac{1}{R_4} \right)$$

将数值代入

$$0.009788 = (1.6126 - 1) \left(\frac{1}{R_2} - \frac{1}{R_4} \right)$$

当 $R_2 = 392$ ，从上式解出 $R_4 \approx -63$ ，对应的球差接近于零，所得到的数据如次

$R_1 = \infty$	$n_1 = 1$
$R_2 = 64.75$	$d_1 = 2$
$R_3 = 392$	$d_2 = 20$
$R_4 = -63$	$d_3 = 16$
	$n_2 = 1.6475 (\text{T}\Phi 1)$
	$n_3 = 1$
	$n_4 = 1.6126 (\text{TK16})$
	$n_5 = 1$

$$S'_0 = 295.93 ; f'_0 = 231.09$$

$$\delta S' = -0.79$$

计算球差时，令光束的投射高度 $h = 20$ ，对应的半部系统的相对孔径 $D/f' \approx 1/6$ 。当两个半部系统合拢来时，口径将略有增加，而焦距约减小一半，故达到所需要的相对孔径是不会有多大困难的。

4) 半部系统象差的矫正

以上数据仅矫正了球差和象面弯曲，而丝毫未涉及到象散和色差。

为了计算象散，首先必须确定视场。从图 6-10 中得到

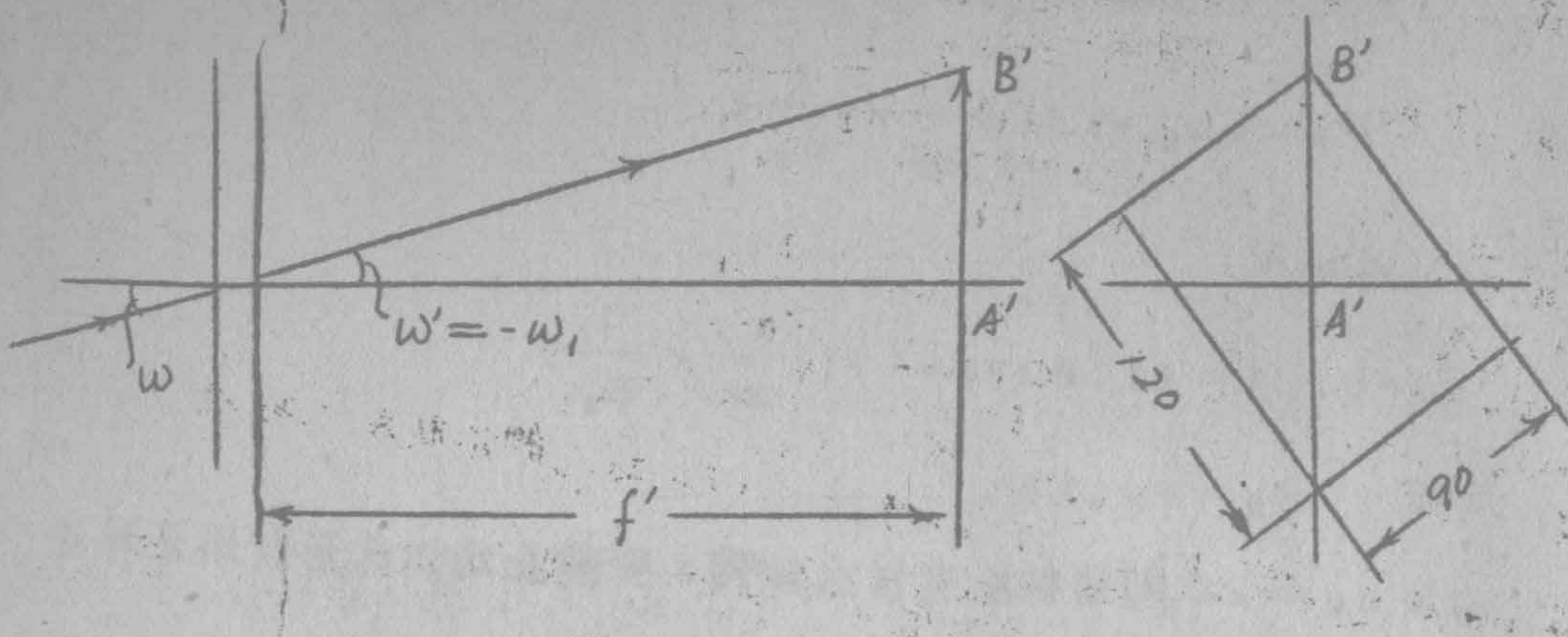


图 10

$$\operatorname{tg}(-\omega_1) = \frac{A'B'}{f'} = \frac{\sqrt{45^2 + 60^2}}{2.50} \approx 0.3$$

所以 $\omega_1 = -17.5^\circ$

计算象散时，令半部系统的视场等于整个系统的视场对矫正象散没有甚么影响。设入射光瞳到第一折射面的距离 $s_1 = -1$ ，计算象散后得到

$$x_t' = 5.897; x_s' = 1.027$$

可见，象散很大，必须进一步矫正。

矫正象散的方案有两个：

I . 改变厚度 d_1

这个方案的优点在于矫正了象散以后不会破坏已经矫正好的球差，缺点在于厚度 d_1 的变化量有限。

II . 改变厚度 d_2

这个方案的依据为负透镜产生的正象散为定值，厚度 d_2 的改变相当入射光瞳位置相对正透镜移动，正透镜产生的负象散发生较大的变化，从而使半部系统的象散很快地得到矫正，它的缺点在于破坏了

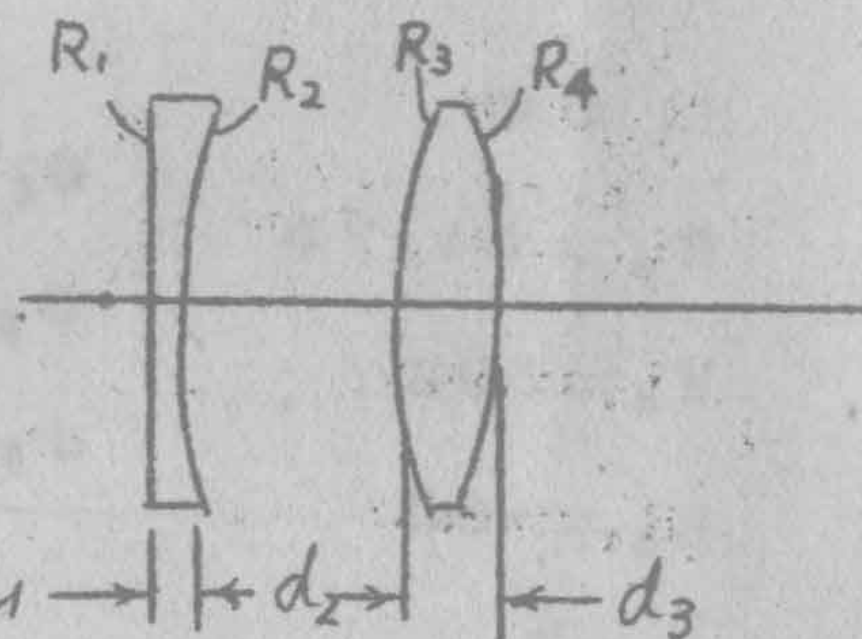


图 6-11

已經矯正好的球差。

我們採用了第二個方案。為了減小剩餘正象散，應當增加厚度 d_2 。計算結果列在下面

d_2	22	24
x_t'	3.554	1.790
x_s'	0.175	-0.045

當 $d_2 = 24$ 時，象散被矯正，但對應的剩餘球差很大 ($\delta S' = -13.11$)。

矯正剩餘球差的方案亦有兩個：

I . 從新變換 R_2 ，按照消象面彎曲條件確定 R_2 ，直到球差等於零。

II . 變換厚度 d_2 ，使光線在第四面上的高度改變，從而使第四面產生的球差發生相應的變化。

這個方案的優點在於只要計算最後一個面的光路，計算工作量少。由於剩餘負球差很大，故應當減小 d_2 ，使第四面產生的負球差減小。

計算結果如下

d_2	14	11	7
$\delta S'$	-9.99	-6.04	-0.03

當 $d_2 = 7$ 時，球差被矯正。 d_2 虽然減小了許多，但仍能滿足強度要求。

驗算象散的結果如次

w	-17.5°	-12°
x_t'	-0.058	0.988
x_s'	-0.568	1.588

故象散基本上符合要求。圖 6-12 為象散

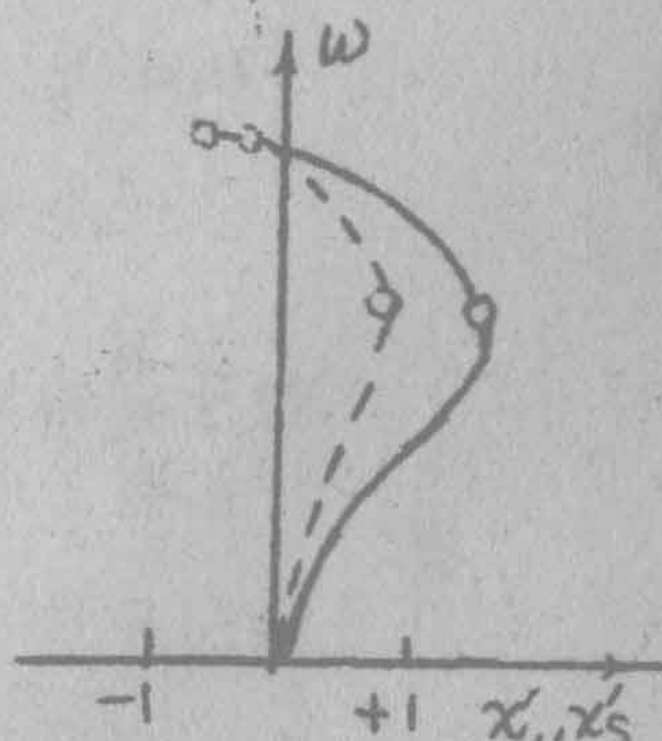


圖 6-12 —

隨視場变化的曲綫图。

計算色差的結果如次

h	D	F	C
0	294.06	293.64	294.52
1.4	291.89	291.56	292.12
2.0	294.03	294.07	294.46

图 6-13 为色差曲綫图。

列出最后所得的半部系統的数据如次

$$R_1 = \infty$$

$$d_1 = 2$$

$$n_1 = 1$$

$$R_2 = 64.75$$

$$d_2 = 24$$

$$n_2 = 1.6475 (\text{T}\Phi 1)$$

$$R_3 = 392$$

$$d_3 = 7$$

$$n_3 = 1$$

$$R_4 = -63$$

$$n_4 = 1.762 (\text{TK16})$$

$$n_5 = 1$$

$$S_0' = 294.06; \quad f_0' = 230.64$$

5) 系統的合成

系統的合成可以採用保持第一輔助光線在各折射面上的偏向角不变的方法来完成的。

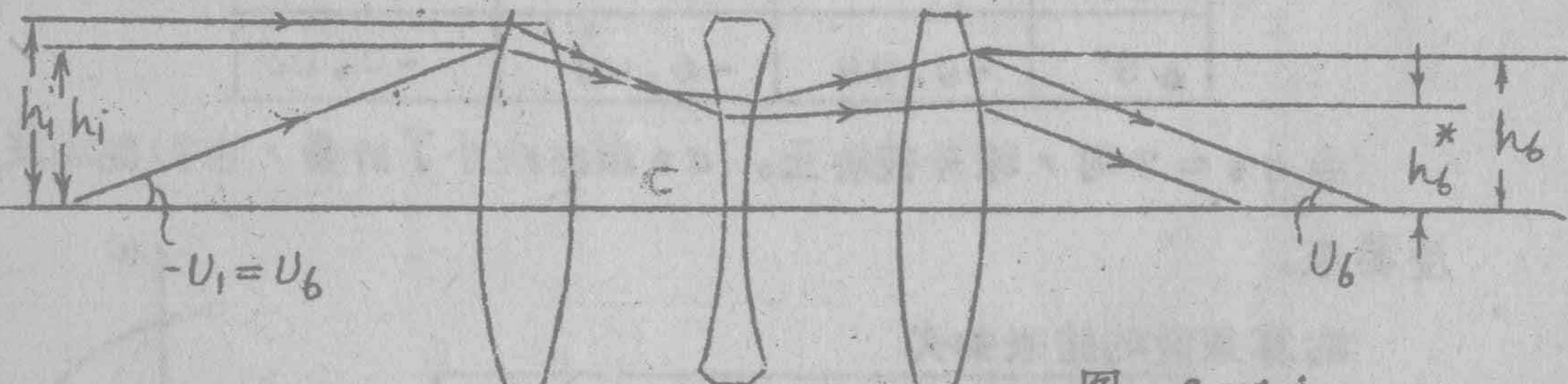


图 6-14

对于完全对称的系統，图 6-14 中各量已經通过光路計算求出如
次

$$U_1 = -U_7 = -0.086716$$

$$h_1 = 25.50$$

$$U_2 = -U_6 = 0.099990$$

$$h_2 = 24.80$$

$$U_3 = -U_5 = 0.2$$

$$h_3 = 20.00$$

$$U_4 = 0$$

$$h_4 = 20.00$$

$$U_5 = -0.2$$

$$h_5 = 24.80$$

$$U_6 = -0.099990$$

$$h_6 = 24.50$$

$$U_7 = 0.086716$$

当物由与 其 象对称的位置移至无限远时，新的系統参数确定如次

角度

$$U_1^* = -U_7 + U_7 = 0$$

$$U_2^* = -U_6 + U_7 = 0.186706$$

$$U_3^* = -U_5 + U_7 = 0.286716$$

$$U_4^* = U_7 = 0.086716$$

$$U_5^* = U_5 + U_7 = -0.113284$$

$$U_6^* = U_6 + U_7 = -0.013247$$

$$U_7^* = 2U_7 = 0.173432$$

高度

$$h_1^* = h_1 + U_1^* d_1 = 27.054616 + 0.186706 \times 7 \\ = 28.361558$$

$$h_2^* = h_2 + U_2^* d_2 = 20.173432 + 0.286716 \times 24 \\ = 27.054616$$

$$h_3^* = h_3 + U_3^* \frac{d_3}{2} = 20.00 + 0.086716 \times 2 \\ = 20.173432$$

$$h_4^* = h_4 + U_4^* \frac{d_4}{2} = 20.00 - 0.086716 \times 2 \\ = 19.826568$$